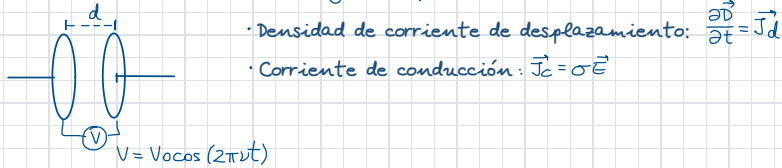


## Hoja 2 - ec Maxwell, leyes de conservación

- 1.- El agua de mar a frecuencia  $\nu = 4 \times 10^8$  Hz tiene permitividad  $\epsilon = 81\epsilon_0$ , permeabilidad  $\mu = \mu_0$ , y resistividad  $\rho = 0.23 \Omega \cdot m$ . Considerando un condensador de láminas plano paralelas en agua de mar con un voltaje entre sus extremos  $V_0 \cos(2\pi \nu t)$ , determinar la relación entre la corriente de conducción y la corriente de desplazamiento.

AGUA MAR:  $\begin{cases} \nu = 4 \cdot 10^8 \text{ Hz} \\ \epsilon = 81\epsilon_0 \\ \mu = \mu_0 \\ \rho = 0.23 \Omega \cdot m \end{cases}$  CONDENSADOR:  $V = V_0 \cos(2\pi \nu t)$

Relación corriente de conducción y de desplazamiento?



1. Calculamos la corriente de desplazamiento:

$$\vec{J}_d = \frac{\partial \vec{D}}{\partial t} = \frac{\partial}{\partial t} (\epsilon \cdot \vec{E}) = \frac{\partial}{\partial t} \left( \epsilon \cdot \frac{V}{d} \right) = \frac{\epsilon}{d} \cdot \frac{d}{dt} (V_0 \cos(2\pi \nu t)) =$$

no hay  $\vec{E}$  en un condensador  
carga ligada, de placas plano-paralelas  $\Rightarrow E = \frac{V}{d}$  donde  $V = V(t)$   
 $\vec{J}_c = 0$

$$= \frac{\epsilon}{d} V_0 \cdot 2\pi \nu \cdot (-\sin(2\pi \nu t)) = -\frac{\epsilon V_0 2\pi \nu}{d} \sin(2\pi \nu t)$$

2. Calculamos la corriente de conducción:

$$\vec{J}_c = \sigma \vec{E} = \sigma \cdot \frac{V}{d} = \frac{\sigma}{d} \cdot V_0 \cos(2\pi \nu t)$$

$\vec{E}$  en un condensador de placas plano-paralelas

3. Buscamos la relación entre ambas magnitudes (las dividimos).

$$\frac{J_d}{J_c} = \frac{-\frac{\epsilon V_0 2\pi \nu}{d} \sin(2\pi \nu t)}{\frac{\sigma}{d} \cdot V_0 \cos(2\pi \nu t)} = -\frac{\epsilon}{\sigma} \cdot 2\pi \nu \cdot \tan(2\pi \nu t)$$

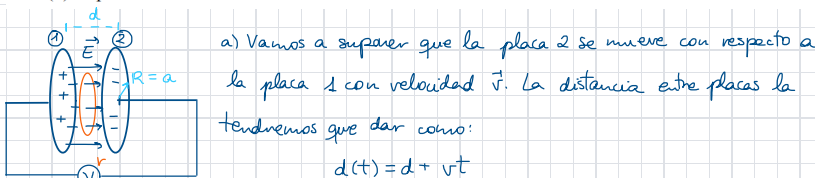
Vamos a buscar también la relación entre amplitudes:

$$\left( \frac{J_d}{J_c} \right)_{\text{amplitudes}} = \frac{+\frac{\epsilon V_0 2\pi \nu}{d}}{\frac{\sigma}{d} \cdot V_0} = +\frac{2\pi \nu \epsilon}{\sigma} = +0.415$$

trabajamos con las amplitudes en positivo  
sustituyendo,  $\sigma = \frac{1}{\rho}$

- 2.- Un condensador de capacidad  $C$  está formado por dos placas circulares paralelas de radio  $a$  y está conectado a una diferencia de potencial  $V$ .

- (a) Determinar el campo magnético  $\vec{B}$  en el interior del condensador cuando sus placas se separan lentamente con velocidad constante  $v$ .  
(b) Repetir los cálculos considerando el condensador aislado.



El cambio entre la distancia de las placas nos lleva a una variación del campo eléctrico, y esta variación genera un campo magnético  $\vec{B}$  entre placas (a causa de la corriente de descarga que se genera).

A partir de la 4ª ley de Maxwell vemos que:

$$\oint \vec{B} \cdot d\vec{l} = \mu_0 \epsilon_0 \int_S \frac{\partial \vec{E}}{\partial t} \cdot d\vec{S} = \mu_0 \epsilon_0 \cdot \pi a^2 \cdot \frac{dE}{dt} \quad (1)$$

dentro del condensador hay aire  
vamos a integrar sobre la placa de área circular  $S = \pi a^2$   
(solo la derivada  $\times \vec{E}$  no depende de  $R$ )

$$\oint_C \vec{B} \cdot d\vec{l} = |\vec{B}| 2\pi r \quad (2)$$

integrando sobre un camino circular de radio  $r < a$

$$\frac{d\vec{E}}{dt} = \frac{d}{dt} \left( \frac{V}{d} \right) = \frac{d}{dt} \left( \frac{V}{d+vt} \right) = V \cdot \frac{-v}{(d+vt)^2} \quad (3)$$

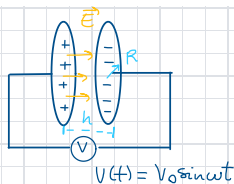
$\Rightarrow$  sustituimos (3) y (2) en (1):

$$|\vec{B}| 2\pi r = \mu_0 \epsilon_0 \pi a^2 V \cdot \frac{-v}{(d+vt)^2}; \quad |\vec{B}| = \frac{-v a^2 \mu_0 \epsilon_0 V}{(d+vt)^2 \cdot 2r} \quad (T), \quad 0 < r < a$$

b) Si un condensador está aislado (y dejamos de hacer la suposición de que las placas se alejan), entonces esto implica que no hay una descarga de sus placas y por ello el campo  $\vec{E}$  es independiente del tiempo. Como no hay variación de  $\vec{E}$ , no se induce ningún campo  $\vec{B}$ . Vamos a ver esto formalmente:

CONDENSADOR AISLADO  $\Rightarrow q = cte \Rightarrow \vec{E} = cte \Rightarrow \oint_C \vec{B} \cdot d\vec{l} = \mu_0 \epsilon_0 \int_S \frac{\partial \vec{E}}{\partial t} \cdot d\vec{S} = 0 \Rightarrow \vec{B} = 0$

3.- Consideremos un condensador plano de capacidad  $C$  formado por dos placas circulares de radio  $a$  separadas una distancia  $h$ . El medio entre las placas es aire y se aplica una fuerza electromotriz alterna de alta frecuencia a sus electrodos de forma que el voltaje entre los centros de las placas es  $V(t) = V_0 \sin \omega t$ . Si se desprecia el efecto de bordes, determinar los campos eléctrico y magnético en el interior del condensador.



consideramos que en el borde se comporta igual (aunque en la realidad esto no ocurre)

OJO! En cilíndricas y así

1. Cálculo campo  $\vec{E}$

$$\vec{E} = \frac{V}{d} = \frac{V_0}{h} \sin \omega t = E_0 \sin \omega t \quad \left( \frac{V}{m} \right), \quad E_0 = \frac{V_0}{h}$$

$\vec{B}$  más fácil

2. Cálculo campo  $\vec{B}$  mediante la ley de Ampère-Maxwell

$$\oint_C \vec{B} \cdot d\vec{l} = \mu_0 \epsilon_0 \int_S \frac{\partial \vec{E}}{\partial t} \cdot d\vec{S}$$

$$(1) \oint_C \vec{B} \cdot d\vec{l} = 2\pi r |\vec{B}|$$

consideramos como camino un círculo cerrado de radio  $0 < r < a$

$$(2) \int_S \frac{\partial \vec{E}}{\partial t} \cdot d\vec{S} = \pi a^2 \cdot \frac{dE}{dt} = \pi a^2 E_0 \omega \cos \omega t$$

$$\Rightarrow 2\pi r |\vec{B}| = \pi a^2 E_0 \omega \cos \omega t, \quad \vec{B} = \frac{a^2 V_0 \omega}{2r h} \cos \omega t = B_0 \cos \omega t \quad (T)$$

OJO! Esta solución nos da cuando hemos hecho una aproximación cuasiestática, es decir, una aproximación para la cual por ser  $\omega$  muy chiquitita, podemos considerar que  $\vec{B}$  no cambia con el tiempo. Vamos a ver a continuación cómo habría que hacerlo si queremos ajustarnos más a la realidad.

#### CORRECCIÓN AL CASO CUASISTÁTICO

1. Primero vamos a ver cómo varía el campo  $\vec{B}$

$$\frac{\partial \vec{B}}{\partial t} = -B_0 \omega \sin(\omega t) = -\frac{a^2 V_0 \omega^2}{2rh} \sin(\omega t) \approx 0 \text{ en cuasiestático}$$

2. Aplicamos la ley de Faraday para "corregir"  $\vec{E}$ :

$$\nabla \times \vec{E} = -\frac{\partial \vec{B}}{\partial t} \Rightarrow \oint_C \vec{E} \cdot d\vec{l} = -\frac{d}{dt} \int_S \vec{B} \cdot d\vec{S};$$

integrando  $\vec{E}_2$  en un rectángulo que abarque ambas placas

no me queda muy claro de dónde viene

$$-\vec{E}_2 \cdot h = -\frac{d}{dt} \int_0^a \frac{r E \mu_0 \omega r E_0}{2} \cos \omega t \, dr \Rightarrow$$

$$\Rightarrow \vec{E} = \frac{1}{2} E_0 \left( 1 - \frac{r^2}{a^2} \right) \sin \omega t \hat{z}$$



de Ampère-Maxwell  $\oint_L \vec{B} \cdot d\vec{l} = \mu \epsilon \int_S \frac{\partial \vec{E}}{\partial t} \cdot d\vec{s} \xrightarrow{(1)} B 2\pi a = \mu \epsilon \pi a^2 \frac{V_0 C}{R C} \cdot \frac{1}{R C} e^{-t/R C};$

(1)  $\oint_L \vec{B} \cdot d\vec{l} = B 2\pi a \rightarrow$  integramos sobre un círculo de radio  $a$

(2)  $\frac{\partial \vec{E}}{\partial t} = \frac{V_0 C}{\epsilon \pi a^2 R C} e^{-t/R C}$

;  $\vec{B} = \frac{V_0 \mu}{2\pi a R} e^{-t/R C} \hat{\varphi} \quad (T)$

Ahora usamos la relación  $\vec{H} = \frac{1}{\mu} \vec{B} = \frac{V_0}{2\pi a R} e^{-t/R C} \hat{\varphi} \quad (A/m)$

Ya podemos calcular  $S$ , teniendo en cuenta que trabajamos en coordenadas cilíndricas.

$$\vec{S} = \vec{E} \times \vec{H} = \begin{vmatrix} \hat{\rho} & \hat{\varphi} & \hat{z} \\ 0 & 0 & E \\ 0 & H & 0 \end{vmatrix} = -E \cdot H \hat{\rho} = -\frac{V_0 C}{\epsilon \pi a^2} (1 - e^{-t/R C}) \cdot \frac{V_0}{2\pi a R} e^{-t/R C} =$$

$$= \frac{V_0^2 C}{2\epsilon \pi^2 a^3 R} e^{-t/R C} (e^{-t/R C} - 1) \hat{\rho} \quad (W/m^2)$$

### OTRA FORMA DE HACERLO SIN PASAR POR $\vec{B}$

Aplicando la ley de Ampère-Maxwell entre los campos  $\vec{D}$  y  $\vec{H}$ :

Aplicando la ley de Ampère-Maxwell, teniendo en cuenta que entre las placas del condensador  $\vec{J} = 0$ , queda:

$$\vec{\nabla} \times \vec{H} = \frac{\partial \vec{D}}{\partial t}$$

y en forma integral:

$$\oint_H \vec{H} \cdot d\vec{l} = \frac{d}{dt} \int_S \vec{D} \cdot d\vec{s}$$

$$\oint_H \vec{H} \cdot d\vec{l} = \int_S \frac{\partial \vec{D}}{\partial t} \cdot d\vec{s}$$

Como  $\vec{D}$  tiene el sentido  $-\hat{u}_x$ ,  $\vec{H}$  sólo tiene componente  $H_{\varphi}$  y además:

$$\vec{H} = -H_{\varphi} \hat{\varphi}$$

Vemos que se llega a lo mismo  $\Rightarrow$

Así pues:

$$\oint_H \vec{H} \cdot d\vec{l} = \int_0^{2\pi} (-H_{\varphi} \hat{\varphi}) \cdot (R d\varphi \hat{\varphi}) = -H_{\varphi} 2\pi R$$

$$\int_S \frac{\partial \vec{D}}{\partial t} \cdot d\vec{s} = \int_S \frac{\partial}{\partial t} (-\epsilon \pi R^2 \hat{u}_x) \cdot d\vec{s} = -\frac{V_0}{\pi a^2 R} e^{-t/R C} \int_S d\vec{s}$$

$$= -\frac{V_0}{\pi a^2 R} e^{-t/R C} \int_0^{2\pi} R d\varphi = -\frac{V_0 R}{\pi a^2} e^{-t/R C}$$

es decir:

$$\int_S \frac{\partial \vec{D}}{\partial t} \cdot d\vec{s} = -\frac{V_0 R}{\pi a^2} e^{-t/R C}$$

y aplicando la ley de Ampère-Maxwell:

$$-H_{\varphi} 2\pi R = -\frac{V_0 R}{\pi a^2} e^{-t/R C}$$

$$H_{\varphi} = \frac{V_0}{2\pi a^2 R} e^{-t/R C}$$

Ahora que ya tenemos el vector de Poynting, hemos de calcular su flujo total sobre el cilindro (en concreto tomando una sección infinitesimal en la pared del cilindro e integrando sobre esta).

$$\int_S \vec{S} \cdot d\vec{s} = \int_0^{2\pi} |\vec{S}| h a d\varphi = |\vec{S}| 2\pi a h = \frac{V_0^2 C}{\epsilon \pi a^2 R} e^{-t/R C} (e^{-t/R C} - 1)$$

área de un trocito del giro, puesto que será  $h a$  con lo el perímetro de la circun.

aquí esto se puede escribir como  $C = \epsilon \frac{\pi a^2}{R}$  y simplificar más

- 5.- Un disco delgado de radio  $R$ , espesor  $h$  y conductividad  $\sigma$  se somete a un campo magnético uniforme lentamente variable con el tiempo de la forma  $B(t) = B_0 \sin \omega t$  y perpendicular al disco. ¿Cuál es el valor medio temporal de la potencia disipada en el disco?

$\vec{B}(t) = B_0 \sin \omega t \hat{z} \quad (T)$

Valor medio de la potencia disipada?

La potencia disipada por unidad de volumen la damos como:

$$\frac{dP}{dV} = \vec{J} \cdot \vec{E} = \sigma \vec{E}^2 \Rightarrow \text{Hay que dar } \vec{E}, \text{ y lo vamos a relacionar con } B \text{ mediante la ley de Faraday}$$

$\Rightarrow$  LEY DE FARADAY

$$\vec{\nabla} \times \vec{E} = -\frac{\partial \vec{B}}{\partial t} \Rightarrow \oint_L \vec{E} \cdot d\vec{l} = -\frac{d}{dt} \int_S \vec{B} \cdot d\vec{s} \xrightarrow{(1)} \xrightarrow{(2)}$$

(1)  $\oint_L \vec{E} \cdot d\vec{l} = |\vec{E}| 2\pi r$

integrando sobre un círculo  
de radio  $r$  ( $0 < r < R$ )

$$(2) \int_S \vec{B} \cdot d\vec{s} = \int_S B \sin \omega t \, ds = B \sin \omega t \pi r^2$$

integrando sobre un segmento del  
plano de radio  $r$  y ángulo  $d\varphi$  (multiplicar por  
línea círculo)

$$\Rightarrow |\vec{E}| 2\pi r = -\frac{d}{dt} (B \sin \omega t \pi r^2); \vec{E} = -\frac{1}{2} B_0 \omega r \cos \omega t \hat{z} \quad (V/m)$$

Retomamos la expresión de la potencia disipada por unidad de volumen:

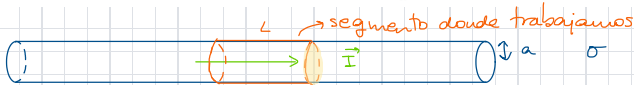
$$\begin{aligned} \frac{dP}{dV} &= \sigma \vec{E}^2 = \sigma \frac{1}{4} B_0^2 \omega^2 r^2 \cos^2 \omega t \quad (W/m^3) \quad \text{no tomamos } \vec{E} \text{ sobre el círculo entero!!} \\ \Rightarrow P &= \int_V \sigma \frac{1}{4} B_0^2 \omega^2 r^2 \cos^2 \omega t \, dV = \frac{1}{4} \sigma B_0^2 \omega^2 \cos^2 \omega t \int_0^R \int_0^{2\pi} \int_0^h \rho^3 d\rho d\varphi dz = \\ &= \frac{1}{16} \sigma B_0^2 \omega^2 R^4 2\pi h \cos^2 \omega t = \frac{1}{8} R^4 \pi h \sigma B_0^2 \omega^2 \cos^2 \omega t \quad (W) \end{aligned}$$

Ahora nos queda calcular su valor medio:

$$\begin{aligned} \langle P \rangle &= \frac{1}{T} \int_0^T \frac{1}{8} R^4 \pi h \sigma B_0^2 \omega^2 \cos^2 \omega t \, dt = \\ T &= \frac{2\pi}{\omega} \quad I_n = \int \cos^n u \, du = \frac{1}{n} \cos^{n-1} u \sin u + \frac{n-1}{n} I_{n-2} \quad \text{CV } u = \omega t, dt = \frac{1}{\omega} du \\ &= \frac{\omega}{2\pi} \cdot \frac{1}{8} R^4 \pi h \sigma B_0^2 \omega^2 \cdot \frac{1}{\omega} \left[ \frac{1}{2} \cos u \sin u + \frac{1}{2} u \right]_0^{2\pi} = \\ &= \frac{1}{16} R^4 h \sigma B_0^2 \omega^2 \pi \quad (W) \end{aligned}$$

- 6.- Sea un cable conductor cilíndrico, rectilíneo e indefinido de radio  $a$  y conductividad  $\sigma$  que transporta una corriente estacionaria de intensidad  $I$  uniformemente distribuida en su sección transversal. Mostrar, con ayuda del teorema de Poynting, que la potencia disipada en un segmento de longitud  $L$  corresponde a la expresión de Joule:

$$P = \frac{L}{\sigma \pi a^2} I^2$$



$\vec{J}$  uniformemente distribuida  $\rightarrow$  no varía con  $\rho$

**TEOREMA DE POYNTING:** en un recinto cerrado donde existen cargas eléctricas en movimiento, la energía electromagnética más la energía interna se conserva si el flujo del vector  $\vec{E} \times \vec{H}$ , llamado vector de Poynting, es cero.

$$\vec{S} = \vec{E} \times \vec{H} \rightarrow \text{representa el flujo de energía}$$

La ley de conservación de la energía se escribe por lo tanto de la siguiente forma:

$$\frac{\partial W_{EM}}{\partial t} + \vec{\nabla} \cdot \vec{S} = -\vec{J} \cdot \vec{E} \Leftrightarrow \frac{dW_{EM}}{dt} = - \int_V (\vec{E} \times \vec{H}) \cdot d\vec{s} - \int_V \vec{J} \cdot \vec{E} \, dV$$

$\rightarrow$  densidad volumétrica de corriente

1. Cálculo  $W_{EM}$ : tenemos el dato de que la corriente es estacionaria, y como trabajamos en un recinto cerrado donde hay cargas en movimiento, la energía se conservará. Esto implica que:

$$W_{EM} = \text{cte} \Rightarrow W_{EM} \neq W_{EM}(t) \Rightarrow \frac{\partial W_{EM}}{\partial t} = 0 \quad (1)$$

2. Cálculo  $\vec{J}$ : esta va a ser la primera magnitud que vamos a dar porque es la única que viene directamente relacionada con  $I$ . Gracias a ella podremos calcular  $\vec{E}$  (y luego  $\vec{H}$  con este).

$$\vec{J} = \frac{I}{S} = \frac{I}{\pi a^2} \hat{z} \quad (C/m^2) \quad \text{S es la superficie circular marcada}$$

3. Cálculo  $\vec{E}$  mediante la ley de Ohm:  $\vec{E} = \frac{\vec{J}}{\sigma} = \frac{I}{\sigma \pi a^2} \hat{z} \quad (N/C) \quad (2)$

4. Cálculo  $H$ : primero calculamos  $B$  mediante la ley de Ampère-Maxwell y luego los relacionamos.

$$\oint_C \vec{B} d\vec{l} = \mu \epsilon \int_S \frac{\partial \vec{E}}{\partial t} d\vec{s} \Rightarrow |\vec{B}| 2\pi r = \mu \epsilon$$

$\underbrace{\oint_C}_{\text{círculo}} \underbrace{d\vec{l}}_{\text{radio } r < a}$ 
 $\underbrace{\int_S}_{\text{círculo marcado}}$

NO SE PUEDE HACER  
ASÍ PQ  $\vec{E}$  NO VARIA  
CON  $t$

Vamos a dar  $\vec{H}$  directamente desde  $\vec{J}$  puesto que sabemos que  $\vec{D}$  tampoco varía con  $t$  (al igual que  $\vec{E}$ ):

LEY AMPÈRE - MAXWELL:

$$\vec{\nabla} \times \vec{H} = \vec{J} + \frac{\partial \vec{D}}{\partial t} = \vec{J} \Rightarrow \text{Teo Stokes } \oint_C \vec{H} d\vec{l} = \int_S \vec{J} d\vec{a} ; |\vec{H}| 2\pi a^2 = I$$

$$\frac{\partial \vec{D}}{\partial t} = \frac{\partial}{\partial t} (\epsilon \vec{E}) = \epsilon \frac{\partial}{\partial t} (\vec{E}) = 0$$

(integrados en círculo de radio  $r = a$  (porque la sección es del propio cilindro))

$$\Rightarrow \vec{H} = \frac{I}{2\pi a^2} \hat{\phi} \quad (\text{A/m}) \quad (3)$$

5. Aplicamos el teorema de Poynting con (1), (2) y (3):

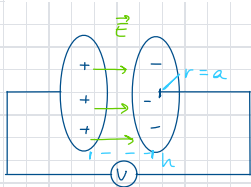
$$\frac{\partial W_{EM}}{\partial t} = - \int_S (\vec{E} \times \vec{H}) d\vec{s} - \int_V \vec{J} \cdot \vec{E} dV \quad (1) \Rightarrow \int_V \vec{J} \cdot \vec{E} dV = P = - \int_S (\vec{E} \times \vec{H}) d\vec{s} \Rightarrow$$

$$\Rightarrow P = \int_S |\vec{E}| |\vec{H}| dS = \int_0^{2\pi} \int_0^L \frac{I^2}{20\pi^2 a^3} a d\phi dz = \frac{I^2}{20\pi^2 a^3} 2\pi \cdot L = \frac{I^2 L}{10\pi a^2} \quad (W)$$

$$\vec{E} \times \vec{H} = \begin{vmatrix} \hat{\rho} & \hat{\phi} & \hat{z} \\ 0 & 0 & |\vec{E}| \\ 0 & |\vec{H}| & 0 \end{vmatrix} = -|\vec{E}| |\vec{H}| \hat{\rho}$$

- 7.- Un condensador plano de capacidad  $C$  está formado por dos placas circulares de radio  $a$  separadas una distancia  $h$  se carga hasta una diferencia de potencial  $V$  mediante una batería. Mostrar, con ayuda del teorema de Poynting, que la energía almacenada se corresponde con la expresión  $\frac{1}{2} CV^2$ , siendo la capacidad del condensador:

$$C = \frac{\epsilon_0 \pi a^2}{h}$$



Analizamos una a una las componentes de la ley de conservación de la energía para ver qué términos se anulan:

$$\frac{dW_{EM}}{dt} = - \int_S (\vec{E} \times \vec{H}) d\vec{s} - \int_V \vec{J} \cdot \vec{E} dV$$

$$(1) \quad W_{EM} = \frac{1}{2} \int_V (\vec{E} \cdot \vec{D} + \vec{H} \cdot \vec{B}) dV = \frac{1}{2} \int_V \vec{E} \cdot \vec{D} dV \Rightarrow \text{energía acumulada que queremos dejar}$$

$$\int_V \vec{H} \cdot \vec{B} dV = 0 \text{ al evaluarla (al principio y al final es } = 0)$$

$$(2) \quad \int_V \vec{J} \cdot \vec{E} dV = 0 \text{ porque } I = 0 \text{ entre las placas del condensador}$$

$$(3) \quad \int_S (\vec{E} \times \vec{H}) d\vec{s} \text{ no se anula}$$

1. Cálculo campo  $\vec{E}$ :  $\vec{E} = \frac{V(t)}{d} = \frac{V(t)}{h} \hat{z}$  (potencial depende del tiempo porque se está cargando)

2. Cálculo campo  $\vec{H}$ : mediante la ley de Ampère-Maxwell

$$\vec{\nabla} \times \vec{H} = \vec{J} + \frac{\partial \vec{D}}{\partial t} \Rightarrow \text{Stokes} \Rightarrow \oint_C \vec{H} d\vec{l} = \frac{d}{dt} \int_S \vec{D} d\vec{s} \Rightarrow$$

0 entre las placas del condensador,  $I = 0$

$$\Rightarrow H \cdot 2\pi r = \frac{d}{dt} \int_S \epsilon_0 \vec{E} d\vec{s} = \epsilon_0 \cdot \pi r^2 \frac{d}{dt} \left( \frac{V(t)}{h} \right) = \frac{\epsilon_0 \pi r^2}{h} \frac{d}{dt} V(t)$$

$$\vec{H} = \frac{\epsilon_0 r}{2h} \frac{d}{dt} V(t) \hat{\phi} \quad (\text{A/m})$$

3. Sustitución en los términos

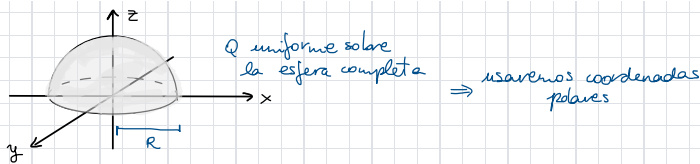
$$(1) \quad W_{EM} = \frac{1}{2} \int_V \vec{E} \cdot \vec{D} dV = \frac{1}{2} \epsilon_0 \int_V \vec{E}^2 dV = \frac{\epsilon_0}{2} \int_0^a \int_0^{2\pi} \int_0^h \frac{V^2(t)}{h^2} \cdot \rho d\rho d\phi dz =$$

$\uparrow \vec{D} = \epsilon_0 \vec{E}$ 
 $\uparrow dV =$





- 9.- Consideremos una esfera maciza de radio  $R$  cargada con una carga  $Q$  distribuida uniformemente en todo su volumen. Determinar, con ayuda del tensor de tensiones de Maxwell, la fuerza neta que actúa sobre la semiesfera "norte" de la esfera.



1. Calculamos el campo  $\vec{E}$  debido a una distribución de carga uniforme mediante la ley de Gauss. Tomamos como superficie Gaussiana una esfera de radio  $r$  y distinguiremos varios casos.

CASO 1:  $0 < r \leq R$

$$\oint_S \vec{E} \cdot d\vec{S} = \frac{Q}{\epsilon_0} = \frac{\rho V}{\epsilon_0} = \frac{4}{3} \pi r^3 \frac{\rho}{\epsilon_0}; |\vec{E}| 4\pi r^2 = \frac{4}{3} \pi r^3 \frac{\rho}{\epsilon_0} \Rightarrow \vec{E} = \frac{1}{3} \frac{R^2}{r^2} \frac{\rho}{\epsilon_0} \hat{r} \text{ (N/C)}$$

$$\rho = \frac{Q}{V} \text{ densidad volumétrica de carga}$$

CASO 2:  $r > R$

$$\oint_S \vec{E} \cdot d\vec{S} = \frac{Q}{\epsilon_0} = \frac{4}{3} \pi R^3 \frac{\rho}{\epsilon_0}; |\vec{E}| 4\pi r^2 = \frac{4}{3} \pi R^3 \frac{\rho}{\epsilon_0} \Rightarrow \vec{E} = \frac{1}{3} \frac{R^3}{r^2} \frac{\rho}{\epsilon_0} \hat{r} \text{ (N/C)}$$

Vamos a trabajar con el segundo resultado, puesto que vamos a tener la semiesfera norte completa.

2. Calculamos el campo  $\vec{B}$  mediante la ley de Faraday.

$$\oint_C \vec{B} \cdot d\vec{l} = \mu_0 \epsilon_0 \int_S \frac{\partial \vec{E}}{\partial t} \cdot d\vec{S} \Rightarrow \vec{E} \neq \vec{E}(t) \Rightarrow \vec{B} = 0 \text{ (T)}$$

3. Calculamos el tensor de tensiones de Maxwell

$$\vec{T} = (\vec{T}_x, \vec{T}_y, \vec{T}_z) = \begin{bmatrix} T_{xx} & T_{xy} & T_{xz} \\ T_{yx} & T_{yy} & T_{yz} \\ T_{zx} & T_{zy} & T_{zz} \end{bmatrix} \rightarrow \text{tensor simétrico de orden 2}$$

Tenemos un problema: el tensor de tensiones está definido en coordenadas cartesianas y nuestro campo  $E$  está en coordenadas esféricas. Tenemos por tanto que escribirlo en función de  $x, y, z$ .

$$\vec{E} = \frac{1}{3} \frac{\rho}{\epsilon_0} \hat{r} \Rightarrow \vec{E} = \frac{1}{3} \frac{\rho}{\epsilon_0} [\sin\theta \cos\varphi \hat{x} + \sin\theta \sin\varphi \hat{y} + \cos\theta \hat{z}], \quad \begin{matrix} 0 \leq \theta \leq \pi/2 \\ 0 \leq \varphi \leq 2\pi \end{matrix} \quad \begin{matrix} \text{semiesfera} \\ \text{norte} \end{matrix}$$

Por simetría solo tenemos fuerza en la dirección del eje  $z$ , así que solo calculamos esta componente del tensor:

$$\begin{aligned} \vec{E}^2 &= \frac{1}{9} \frac{\rho^2}{\epsilon_0^2} [\sin^2\theta \cos^2\varphi + \sin^2\theta \sin^2\varphi + \sin^2\theta \cos^2\varphi + \sin^2\theta \cos^2\varphi + \sin^2\theta \sin^2\varphi + \sin^2\theta \sin^2\varphi + \sin^2\theta \cos^2\varphi + \sin^2\theta \sin^2\varphi + \cos^2\theta] = \\ &= \frac{1}{9} \frac{\rho^2}{\epsilon_0^2} [1 + 2\sin^2\theta \sin^2\varphi + \sin^2\theta \cos^2\varphi + \cos^2\theta] \end{aligned}$$

el cuadrado se toma del módulo de  $\vec{E}$

$$\begin{aligned} T_{zx} &= \epsilon_0 E_x E_z = \epsilon_0 \cdot \frac{1}{9} \frac{\rho^2}{\epsilon_0^2} \sin\theta \cos\theta \cos\varphi = T_{xz} \\ T_{zy} &= \epsilon_0 E_y E_z = \epsilon_0 \cdot \frac{1}{9} \frac{\rho^2}{\epsilon_0^2} \sin\theta \cos\theta \sin\varphi = T_{yz} \\ T_{zz} &= \epsilon_0 E_z^2 - \frac{1}{2} \epsilon_0 \vec{E}^2 = \epsilon_0 \frac{1}{9} \frac{\rho^2}{\epsilon_0^2} \left[ \cos^2\theta - \frac{1}{2} - \sin^2\theta \sin^2\varphi - \frac{1}{2} \sin\theta \cos\theta \cos\varphi - \frac{1}{2} \cos^2\theta \right] = \\ &= \epsilon_0 \frac{1}{9} \frac{\rho^2}{\epsilon_0^2} \left[ \frac{1}{2} \cos^2\theta - \frac{1}{2} - \sin^2\theta \sin^2\varphi - \frac{1}{2} \sin\theta \cos\theta \cos\varphi \right] = \epsilon_0 \frac{1}{9} \frac{\rho^2}{\epsilon_0^2} [\cos^2\theta - 1] \end{aligned}$$

4. Pasamos al cálculo del flujo del tensor de tensiones. Tenemos una semiesfera, así que vamos a dividir este cálculo en la parte circular que sirve de tapa y en la cúpula. La suma de ambas será la fuerza total.

CÚPULA:  $\vec{S}_c = \hat{r} = \sin\theta \cos\varphi \hat{x} + \sin\theta \sin\varphi \hat{y} + \cos\theta \hat{z}; dS_r = R^2 \sin\theta d\theta d\varphi$

Vamos a ver componente por componente cómo queda esto:

$$\begin{aligned} T_{zx} \cdot \hat{n} &= T_{zx} \cdot \sin\theta \cos\varphi \hat{x} \cdot dS_r = \frac{1}{9} \frac{\rho^2}{\epsilon_0^2} R^2 \sin^3\theta \cos\theta \cos^2\varphi d\theta d\varphi \\ T_{zy} \cdot \hat{n} &= T_{zy} \cdot \sin\theta \sin\varphi \hat{y} \cdot dS_r = \frac{1}{9} \frac{\rho^2}{\epsilon_0^2} R^2 \sin^3\theta \cos\theta \sin^2\varphi d\theta d\varphi \\ T_{zz} \cdot \hat{n} &= T_{zz} \cdot \cos\theta \hat{z} \cdot dS_r = \frac{1}{9} \frac{\rho^2}{\epsilon_0^2} R^2 [\cos^2\theta - 1] \cos\theta \sin\theta d\theta d\varphi \end{aligned}$$



tenemos una suma de estos tres terminos:

$$\sin^3\theta \cos\theta \cos^2\varphi + \sin^3\theta \cos\theta \sin^2\varphi + \cos^3\theta \sin\theta - \cos\theta \sin\theta =$$

=

¿qué significa esto?

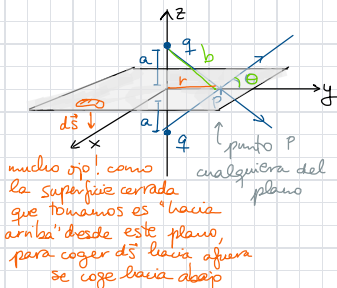
- 10.- (a) Considerar dos cargas puntuales iguales  $q$ , separadas una distancia  $2a$ . Considerar el plano equidistante a las dos cargas. Determinar la fuerza que ejerce una carga sobre la otra mediante la integración del tensor de tensiones de Maxwell sobre este plano.  
(b) Repetir el apartado (a) si las cargas son de signo contrario.

a) De nuevo nos encontramos con que  $\vec{F} = \frac{d\vec{P}_{mec}}{dt}$ , de forma que nuestro problema vuelve a ser calcular el tensor de tensiones de Maxwell.

$$\vec{F} = \oint_S \vec{T} \cdot d\vec{S} \Rightarrow \text{OJO! Integral sobre una superficie cerrada}$$

¿Qué superficie cerrada vamos a tomar como región de integración?

Escogemos como región cerrada el plano  $xy$  (donde se hallan ambas partículas) y una semiesfera ("tapadera") cuyo radio tiende a infinito y que por ello  $E = 0$  en ella.



Por la simetría del problema, la fuerza solo se ejerce en la dirección del eje  $z$ . Es por ello que solo tendremos que calcular la componente  $T_{zz}$  del tensor de tensiones. Para un punto  $P$  cualquiera perteneciente al plano:

$$\vec{E} = \frac{1}{4\pi\epsilon_0} \cdot 2 \cdot \frac{q}{b^2} \cos\theta \hat{u}_r \Rightarrow \vec{E} = \frac{q}{2\pi\epsilon_0} \cdot \frac{r}{b^3} \hat{u}_r$$

$r = b \cos\theta$  (proyección);  $\hat{u}_r = \vec{r}/r$  (se anulan las aportaciones de las cargas entre sí)

Calculamos el tensor de tensiones:

$$T_{zz} = \epsilon_0 E_z^2 - \frac{1}{2} \epsilon_0 E^2 = -\frac{1}{2} \epsilon_0 \left( \frac{q}{2\pi\epsilon_0} \right)^2 \frac{r^2}{(r^2+a^2)^3}$$

Y si integramos este término, nos queda la fuerza buscada:

$$\vec{F} = F \hat{u}_z = \left[ \int_S (-T_{zz}) dS \right] \hat{u}_z \Rightarrow F = - \int_S T_{zz} dS = \frac{1}{2} \left( \frac{q}{2\pi\epsilon_0} \right)^2 \int_0^{2\pi} \int_0^\infty \frac{r^3}{(r^2+a^2)^3} dr d\varphi$$

Integramos en polares sobre todo el plano:  
 $dS = r dr d\varphi$ ;  $r \in [0, \infty)$ ,  $\varphi \in [0, 2\pi]$

$$= \frac{q^2}{4\pi\epsilon_0} \int_0^{2\pi} \int_0^\infty \frac{r^3}{(r^2+a^2)^3} dr d\varphi = \frac{q^2}{4\pi\epsilon_0} \cdot \frac{1}{2} \int_0^{2\pi} \frac{u du}{(u+a^2)^3} = \frac{q^2}{4\pi\epsilon_0} \left[ -\frac{1}{u+a^2} + \frac{a^2}{2(u+a^2)^3} \right]_0^\infty$$

CV  $u=r^2$   
 $du=2r dr$

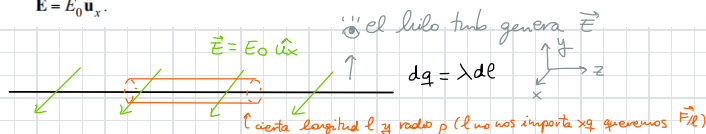
$$= \frac{q^2}{4\pi\epsilon_0} \cdot \frac{1}{(2a)^2} \Rightarrow F = \frac{1}{4\pi\epsilon_0} \cdot \frac{q^2}{(2a)^2} \hat{u}_z \quad \text{LEY COULOMB}$$

- b) Si las cargas son de distinto signo, cambia la expresión que tenemos del campo eléctrico (puesto que en una de ambas, el campo irá en sentido contrario).

$$\vec{E} = -\frac{1}{4\pi\epsilon_0} \cdot 2 \cdot \frac{q}{b^2} \sin\theta \hat{u}_z \quad \text{con } \sin\theta = \frac{a}{b}$$

$$\Rightarrow T_{zz} = \frac{\epsilon_0}{2} \left( \frac{q}{2\pi\epsilon_0} \right)^2 \frac{1}{(r^2+a^2)^3} \Rightarrow \vec{F} = \frac{1}{4\pi\epsilon_0} \cdot \frac{q(-q)}{(2a)^2} \hat{u}_z$$

- 11.- Consideremos un cable conductor rectilíneo, indefinido y de sección despreciable, cargado con densidad lineal de carga uniforme  $\lambda$  y situado a lo largo del eje  $z$ . Determinar, con ayuda del tensor de tensiones de Maxwell, la fuerza que experimenta el cable por unidad de longitud cuando se somete a un campo eléctrico uniforme estacionario perpendicular al cable y de la forma  $\vec{E} = E_0 \hat{u}_x$ .



1. Calculamos las componentes del tensor de tensiones de Maxwell. Para ello, primero tendremos que escribir el campo eléctrico en coordenadas

TEORÍA

características:  $(\vec{E} \cdot \vec{\rho}) = E_0 \hat{x} + \frac{\lambda}{2\pi\epsilon_0 \rho} \hat{\rho} = E_0 \hat{x} + E_\lambda \sin\varphi \hat{y} + E_\lambda \cos\varphi \hat{x}$

$$\begin{aligned} T_{xx} &= E_0 E_x^2 - \frac{1}{2} E_0 \vec{E}^2 = \frac{1}{2} E_0 (E_0 + E_\lambda \cos\varphi)^2 - \frac{1}{2} E_0 [E_0 + E_\lambda \cos\varphi + E_\lambda \sin\varphi]^2 = \\ &= \frac{1}{2} E_0 (E_0 + E_\lambda \cos\varphi)^2 - \frac{1}{2} E_0 [(E_0 + E_\lambda \cos\varphi)^2 + E_\lambda^2 \sin^2\varphi] \end{aligned}$$

$$T_{zz} = T_{yy} = T_{xz} = T_{zx} = 0 \text{ porque } E_z = 0$$

$$T_{xy} = T_{yx} = E_0 E_x E_y = E_0 (E_0 + E_\lambda \cos\varphi) \cdot E_\lambda \sin\varphi$$

$$T_{zz} = -\frac{1}{2} E_0 \vec{E}^2 = -\frac{1}{2} E_0 [(E_0 + E_\lambda \cos\varphi)^2 + E_\lambda^2 \sin^2\varphi]$$

$$\begin{aligned} T_{yy} &= \frac{1}{2} E_0 E_\lambda^2 \sin^2\varphi - \frac{1}{2} E_0 [(E_0 + E_\lambda \cos\varphi)^2 + E_\lambda^2 \sin^2\varphi] = \\ &= -\frac{1}{2} E_0 (E_0 + E_\lambda \cos\varphi)^2 \end{aligned}$$

2. Integramos tomando como superficie un cilindro cerrado de radio  $\rho$  centrado en el cable ( $\vec{E}$  a través de la pared del cilindro).

$$\vec{F} = \oint_S \vec{T} \cdot \hat{n} ds = \oint_S (T_{xx} \hat{x} \cdot \hat{r}, T_{yy} \hat{y} \cdot \hat{r}, T_{zz} \hat{z} \cdot \hat{r}) ds = \int_0^L \int_0^{2\pi} (T_{xx} + T_{yy}) \cos\varphi \rho d\varphi dz =$$

CILÍNDRICAS

$$\begin{aligned} \hat{r} &= \cos\varphi \hat{x} + \sin\varphi \hat{y} \Rightarrow \text{por la simetría del} \\ ds &= \rho d\varphi dz \Rightarrow \text{problema, la fuerza} \\ &\quad \text{se ejerce en } \hat{x} \end{aligned}$$

\* Si esto no queda muy claro, matemáticamente:

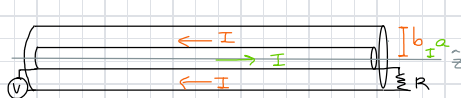
$$\begin{aligned} \vec{T}_x \cdot \vec{r} &= T_{xx} \cos\varphi \hat{x} + T_{xy} \sin\varphi \hat{y} \Rightarrow \text{vamos a integrar} \\ \vec{T}_y \cdot \vec{r} &= T_{xy} \cos\varphi \hat{x} + T_{yy} \sin\varphi \hat{y} \Rightarrow \text{en y con este color} \\ \vec{T}_z \cdot \vec{r} &= T_{xz} \cos\varphi \hat{x} + T_{zy} \sin\varphi \hat{y} = 0 \text{ para ver que es 0} \end{aligned}$$

$$\begin{aligned} \oint_S \vec{T} \cdot \vec{r} ds &= \int_0^L \int_0^{2\pi} (T_{xy} + T_{yx}) \sin\varphi \cdot \rho d\varphi dz = \\ &= \rho \int_0^L \int_0^{2\pi} E_0 (E_0 + E_\lambda \cos\varphi) \cdot E_\lambda \sin\varphi d\varphi + \rho \int_0^L \int_0^{2\pi} -\frac{1}{2} E_0 (E_0 + E_\lambda \cos\varphi)^2 \sin\varphi d\varphi \\ &= \rho \int_0^L E_\lambda^2 \int_0^{2\pi} \cos\varphi \sin\varphi d\varphi - \frac{1}{2} E_0 \rho \int_0^L \int_0^{2\pi} E_0^2 \sin\varphi + E_\lambda^2 \cos^2\varphi \sin\varphi + 2E_0 E_\lambda \cos\varphi \sin\varphi d\varphi \end{aligned}$$

$\Rightarrow$  sin hacer esto, vemos que va en el sentido del campo "externo"

$$\begin{aligned} &= \frac{1}{2} E_0 \rho \left[ E_0^2 \int_0^{2\pi} \cos\varphi d\varphi + E_\lambda^2 \int_0^{2\pi} \cos^3\varphi d\varphi + 2E_\lambda E_0 \int_0^{2\pi} \cos^2\varphi d\varphi - E_\lambda^2 \int_0^{2\pi} \sin^2\varphi \cos\varphi d\varphi \right] + \\ &+ E_0 \rho \left[ E_0 E_\lambda \int_0^{2\pi} \sin\varphi d\varphi + E_\lambda^2 \int_0^{2\pi} \cos\varphi \sin\varphi d\varphi \right] = \\ &= 2E_0 \rho E_0 E_\lambda \pi = F \Rightarrow \vec{F}/L = 2\pi E_0 \rho E_0 E_\lambda \hat{x} = \lambda E_0 \hat{x} \text{ (N)} \\ &\quad \uparrow \\ &\quad E_\lambda = \frac{\lambda}{2\pi\epsilon_0 \rho} \end{aligned}$$

- 12.- Un cable largo coaxial de longitud  $L$ , está formado por un conductor cilíndrico interior de radio  $a$  y otro exterior de radio  $b$ . Los dos conductores están conectados entre sí a una batería  $V$  por un extremo y a una resistencia  $R$  por el otro. El conductor interior está cargado con densidad lineal de carga uniforme  $\lambda$  y transporta una corriente estacionaria hacia la derecha de intensidad  $I$ , mientras que el conductor externo tiene una densidad de carga de signo opuesto y la corriente va en sentido contrario. Determinar el momento lineal electromagnético asociado a esta distribución de fuentes.



- Conductor interior:  $\lambda, \vec{I} = I \hat{z}$
- Conductor externo:  $\lambda' = -\lambda, \vec{I}' = -I \hat{z}$

Para dar el momento lineal electromagnético, también vamos a tener que calcular el tensor de tensiones de Maxwell.

1. Calculamos el campo  $\vec{E}$

$$\begin{aligned} \vec{E}_A &= \frac{\lambda}{2\pi\epsilon_0 \rho} \hat{\rho} = \frac{\lambda}{2\pi\epsilon_0 \rho} (\cos\varphi \hat{x} + \sin\varphi \hat{y}) \\ \vec{E}_B &= \frac{-\lambda}{2\pi\epsilon_0 \rho} \hat{\rho} = \frac{-\lambda}{2\pi\epsilon_0 \rho} (\cos\varphi \hat{x} + \sin\varphi \hat{y}) \Rightarrow \vec{E}(\rho) = \begin{cases} 0, & \rho < a \\ E_A(\rho), & a \leq \rho < b \\ E_A(\rho) + E_B(\rho) = 0, & b \leq \rho \end{cases} \end{aligned}$$

2. Calculamos el campo  $\vec{B}$  (que ahora ya no será nulo porque tenemos una corriente que lo induce)

$$\begin{aligned} \text{LEY BIOT Y SAVART: } \vec{B} &= \frac{\mu_0 I}{2\pi \rho} \hat{\varphi} \rightarrow \text{solo cuando } a \leq \rho < b, \text{ ya que de lo} \\ &\quad \text{contrario } I = 0 \\ \hat{\varphi} &= -\sin\varphi \hat{x} + \cos\varphi \hat{y} \end{aligned}$$

3. Calculamos las componentes del tensor de tensiones de Maxwell.

$$\begin{aligned}
 \cdot T_{xx} &= \epsilon_0 E_x^2 + \frac{1}{\mu_0} B_x^2 - \frac{1}{2} [\epsilon_0 \vec{E}^2 + \frac{1}{\mu_0} \vec{B}^2] = \epsilon_0 \frac{\lambda^2}{4\pi^2 \epsilon_0^2 \rho^2} \cos^2 \varphi + \frac{1}{\mu_0} \frac{\mu_0^2 I^2}{4\pi^2 \rho^2} \sin^2 \varphi - \\
 &- \frac{1}{2} \epsilon_0 \frac{\lambda^2}{4\pi^2 \epsilon_0^2 \rho^2} (\cos^2 \varphi + \sin^2 \varphi) - \frac{1}{2\mu_0} \frac{\mu_0^2 I^2}{4\pi^2 \rho^2} (\sin^2 \varphi + \cos^2 \varphi) = \\
 &= \frac{\lambda^2}{8\pi^2 \epsilon_0 \rho^2} (\cos^2 \varphi - \sin^2 \varphi) + \frac{\mu_0 I^2}{8\pi^2 \rho^2} (\sin^2 \varphi - \cos^2 \varphi) \\
 \cdot T_{xz} &= T_{zx} = T_{yz} = T_{zy} = 0 \\
 \cdot T_{yy} &= \epsilon_0 E_y^2 + \frac{1}{\mu_0} B_y^2 - \frac{1}{2} [\epsilon_0 \vec{E}^2 + \frac{1}{\mu_0} \vec{B}^2] = \epsilon_0 \frac{\lambda^2}{4\pi^2 \epsilon_0^2 \rho^2} \sin^2 \varphi + \frac{1}{\mu_0} \frac{\mu_0^2 I^2}{4\pi^2 \rho^2} \cos^2 \varphi - \\
 &- \frac{1}{2} \epsilon_0 \frac{\lambda^2}{4\pi^2 \epsilon_0^2 \rho^2} (\cos^2 \varphi + \sin^2 \varphi) - \frac{1}{2\mu_0} \frac{\mu_0^2 I^2}{4\pi^2 \rho^2} (\sin^2 \varphi + \cos^2 \varphi) = \\
 &= \frac{\lambda^2}{8\pi^2 \epsilon_0 \rho^2} (\sin^2 \varphi - \cos^2 \varphi) + \frac{\mu_0 I^2}{8\pi^2 \rho^2} (\cos^2 \varphi - \sin^2 \varphi) \\
 \cdot T_{zz} &= \epsilon_0 E_z^2 + \frac{1}{\mu_0} B_z^2 - \frac{1}{2} [\epsilon_0 \vec{E}^2 + \frac{1}{\mu_0} \vec{B}^2] = -\frac{1}{2} \epsilon_0 \frac{\lambda^2}{4\pi^2 \epsilon_0^2 \rho^2} (\cos^2 \varphi + \sin^2 \varphi) - \\
 &- \frac{1}{2\mu_0} \frac{\mu_0^2 I^2}{4\pi^2 \rho^2} (\sin^2 \varphi + \cos^2 \varphi)
 \end{aligned}$$

4. Integramos (primero sobre la pared de un cilindro que se encuentre entre ambos conductores y luego sobre el tiempo).

$$\begin{aligned}
 \frac{d}{dt} P_{EM} &= \oint_S \vec{T} \cdot \hat{\rho} dS = \int_0^{2\pi} \int_0^L (T_{xx} \cos \varphi \hat{x} + \\
 &\quad \hat{\rho} = \cos \varphi \hat{x} + \sin \varphi \hat{y} \\
 &\quad dS = \rho d\varphi dz
 \end{aligned}$$

Supongo que así también se puede hacer pero... Vaya tela tía qué forma de complicar las cosas por la cara más tonta.

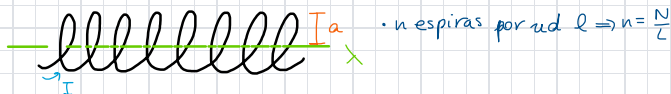
TEORÍA  $P_{EM} = \int_V \vec{g} dV \Rightarrow \vec{g} = \mu_0 \epsilon_0 \vec{S}$

Calculamos el vector de Poynting:

$$\vec{S} = \begin{vmatrix} \hat{\rho} & \hat{\varphi} & \hat{z} \\ \epsilon & 0 & 0 \\ 0 & H & 0 \end{vmatrix} = \vec{E} \cdot \vec{H} \hat{z} = \vec{E} \cdot \frac{\vec{B}}{\mu_0} \hat{z} = \frac{\lambda I}{4\pi^2 \epsilon_0 \rho^2} \hat{z}$$

$$\begin{aligned}
 \vec{P}_{EM} &= \int_V \vec{g} dV = \frac{\lambda \mu_0 I}{4\pi^2} \int_0^{2\pi} \int_0^L \int_a^b \frac{1}{\rho} d\rho d\varphi dz = \\
 &\quad dV = \rho d\rho d\varphi dz \\
 &= \frac{\lambda \mu_0 I}{4\pi^2} \cdot 2\pi \cdot L \cdot \ln \frac{b}{a} = \frac{\lambda \mu_0 I}{2\pi} L \ln \frac{b}{a} \hat{z} = \frac{V I L}{c^2} \hat{z}
 \end{aligned}$$

13.- Consideremos un solenoide cilíndrico muy largo de radio  $a$ , con espiras muy apretadas distribuidas uniformemente a razón de  $n$  espiras por unidad de longitud y por el que se hace circular una corriente estacionaria de intensidad  $I$ . Se coloca un cable conductor rectilíneo, indefinido y de sección despreciable y cargado con densidad lineal de carga uniforme  $\lambda$  a lo largo del eje del solenoide. Determinar los momentos lineal y angular electromagnéticos asociados a esta distribución de fuentes.



1. Momento lineal electromagnético (primero necesitamos calcular  $\vec{g}$  y para ello  $\vec{E}$ ,  $\vec{B}$ ).

$$\vec{E} = \frac{\lambda}{2\pi \epsilon_0 \rho} \hat{\rho}; 0 < \rho < +\infty$$

$$\vec{B} = \frac{N \mu_0 I}{L} = n \mu_0 I \hat{z} \Rightarrow \vec{H} = \frac{\vec{B}}{\mu_0} = n I \hat{z}; 0 < \rho < a$$

$$\Rightarrow \vec{S} = \begin{vmatrix} \hat{\rho} & \hat{\varphi} & \hat{z} \\ \epsilon & 0 & 0 \\ 0 & 0 & H \end{vmatrix} = -\vec{E} \vec{H} \hat{\varphi} = -\frac{\lambda n I}{2\pi \epsilon_0 \rho} \hat{\varphi}$$

$$\vec{g} = \mu_0 \epsilon_0 \vec{S} = -\frac{\lambda n \mu_0 I}{2\pi \rho} \hat{\varphi}$$

$$\vec{P}_{EM} = \int_V \vec{g} dV = -\frac{\lambda n \mu_0 I}{2\pi} \int_0^{2\pi} \int_0^L \int_0^a d\rho d\varphi dz = -\lambda n \mu_0 I a \hat{\varphi}$$

$dV = \rho d\rho d\varphi dz$

Integramos  $\vec{g}$  a todo el volumen:

$$\vec{P}_{EM} = \int_V \vec{g} dV = 0 \quad (\text{pues forma líneas cerradas})$$

2. Momento angular electromagnético

$$\vec{\rho} = \vec{r} \times \vec{q} = \begin{vmatrix} \hat{\rho} & \hat{\varphi} & \hat{z} \\ \rho & 0 & 0 \\ 0 & 0 & \lambda \end{vmatrix} = \rho \lambda \hat{z} = -\frac{\lambda n \mu_0 I}{2\pi} \hat{z}$$

$$\vec{L}_{EM} = \int_V \vec{r} dV = -\frac{\lambda n \mu_0 I}{2\pi} \int_0^{2\pi} \int_0^L \int_0^a \rho d\rho d\phi dz =$$

$$dV = \rho d\rho d\phi dz$$

$$= -\lambda n \mu_0 I L \cdot \frac{a^2}{2} \hat{z}$$